

В.Г. Гусев

ФОРМИРОВАНИЕ В ДИФФУЗНО РАССЕЯННЫХ ПОЛЯХ ИНТЕРФЕРОГРАММ БОКОВОГО СДВИГА ПРИ ДВУХЭКСПОЗИЦИОННОЙ ЗАПИСИ ГОЛОГРАММЫ ФУРЬЕ С ПОМОЩЬЮ МИКРОСКОПА

Приведен анализ интерферометра бокового сдвига на основе двухэкспозиционной записи голограммы Фурье с помощью микроскопа матового экрана. Показано теоретически и экспериментально, что проведение пространственной фильтрации в плоскости голограммы позволяет осуществлять контроль волновых aberrаций микроскопа по полю.

В [1] было показано, что двухэкспозиционная запись с помощью коллимирующей оптической системы Кеплера изображения матового экрана приводит к формированию в дальней зоне дифракции интерферограмм бокового сдвига в полосах бесконечной ширины, которые характеризуют волновые aberrации двухкомпонентной оптической системы по полю. При этом перед записью второй экспозиции осуществлялась компенсация фазовых сдвигов, вносимых в световые волны, путем изменения угла наклона волны излучения, используемого для освещения матового экрана, и фронта опорной волны. Подобный результат получается при совмещении субъективных спекл-полей двух экспозиций в плоскости изображения матового экрана [2].

Для двухкомпонентной оптической системы типа зрительной трубы Галилея двухэкспозиционная запись с ее помощью голограммы мнимого изображения матового экрана приводит к формированию в ближней зоне дифракции интерферограмм бокового сдвига, характеризующих волновые aberrации оптической системы по полю и фазовые искажения квазиплоского фронта волны излучения, используемого для освещения матового экрана [3]. Совмещение субъективных спекл-полей двух экспозиций при смещении зрительной трубы и фотопластинки перед ее повторным экспонированием позволяет осуществлять регистрацию интерференционных картин, характеризующих только волновые aberrации зрительной трубы по полю [4].

В настоящей статье анализируются условия формирования интерферограмм бокового сдвига в полосах бесконечной ширины в случае двухэкспозиционной записи с помощью микроскопа голограммы Фурье матового экрана при проведении пространственной фильтрации дифракционного поля на стадии ее восстановления.

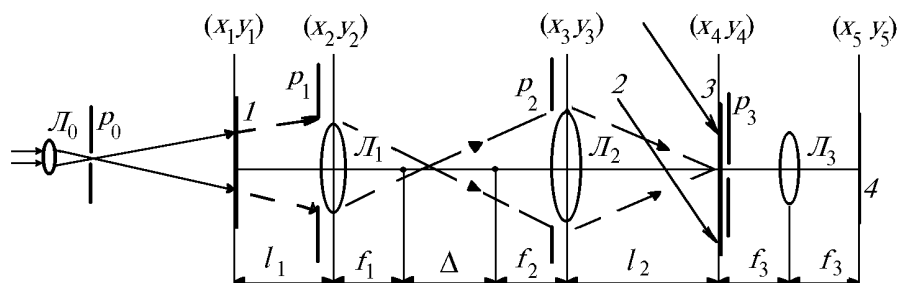


Рис. 1. Оптическая схема записи и восстановления двухэкспозиционной голограммы Фурье: 1 – матовый экран; 2 – опорный пучок; 3 – фотопластинка-голограмма; 4 – плоскость регистрации интерферограммы, L_0, L_1, L_2, L_3 – линзы, p_0, p_3 – фильтрующие диафрагмы, p_1, p_2 – апертурные диафрагмы

Как представлено на рис. 1, матовый экран I , находящийся в плоскости (x_1, y_1) , освещается излучением с безабберационной расходящейся сферической волной, имеющей радиус кри-

визны R , которая формируется с помощью линзы L_0 и точечного отверстия в непрозрачном экране p_0 , расположенного в ее фокусе. С помощью линзы L_1 (объектив микроскопа) его изображение строится в передней фокальной плоскости линзы L_2 (окуляр микроскопа). На фотопластинке 3, находящейся в плоскости (x_4, y_4) , за время первой экспозиции проводится запись голограммы Фурье матового экрана с использованием внеосевой квазиплоской опорной волны 2. Перед записью второй экспозиции осуществляется сдвиг матового экрана в его плоскости, например, в направлении оси x , на величину a и изменяется угол наклона в плоскости (x, z) фронта опорной волны от Θ_1 до Θ_2 .

Записанная таким образом двухэкспозиционная голограмма восстанавливается исходной опорной волной, и при проведении пространственной фильтрации дифракционного поля в ее плоскости с помощью непрозрачного экрана p_3 с круглым отверстием в Фурье-плоскости 4 регистрируется интерферограмма бокового сдвига в полосах бесконечной ширины, характеризующая волновые aberrации микроскопа.

В приближении Френеля без учета постоянных амплитудных и фазовых множителей комплексную амплитуду предметного поля, соответствующую первой экспозиции, в плоскости (x_4, y_4) фотопластинки представим в виде

$$\begin{aligned} u_1(x_4, y_4) \sim & \iiint_{-\infty}^{\infty} \iint t(x_1, y_1) \exp \left[\frac{i k}{2 R} (x_1^2 + y_1^2) \right] \exp \left\{ \frac{i k}{2 l_1} [(x_1 - x_2)^2 + (y_1 - y_2)^2] \right\} p_1(x_2, y_2) \times \\ & \times \exp \left\{ -i \left[\frac{k}{2 f_1} (x_2^2 + y_2^2) - \varphi_1(x_2, y_2) \right] \right\} \exp \left\{ \frac{i k}{2(f_1 + f_2 + \Delta)} [(x_2 - x_3)^2 + (y_2 - y_3)^2] \right\} p_2(x_3, y_3) \times \\ & \times \exp \left\{ -i \left[\frac{i k}{2 f_2} (x_3^2 + y_3^2) - \varphi_2(x_3, y_3) \right] \right\} \exp \left\{ \frac{i k}{2 l_2} [(x_3 - x_4)^2 + (y_3 - y_4)^2] \right\} d x_1 d y_1 d x_2 d y_2 d x_3 d y_3, \quad (1) \end{aligned}$$

где k – волновое число; $t(x_1, y_1)$ – комплексная амплитуда прозрачности матового экрана, являющаяся случайной функцией координат; $p_1(x_2, y_2) \exp i \varphi_1(x_2, y_2)$ – обобщенная функция зрачка линзы L_1 [5] с фокусным расстоянием f_1 , учитывающая ее осевые волновые aberrации; $p_2(x_3, y_3) \exp i \varphi_2(x_3, y_3)$ – соответственно обобщенная функция зрачка линзы L_2 с фокусным расстоянием f_2 ; Δ – оптическая длина тубуса микроскопа; l_1 – расстояние от главной плоскости (x_2, y_2) линзы L_1 до матового экрана; l_2 – расстояние от главной плоскости (x_3, y_3) линзы L_2 до фотопластинки.

При выполнении условия $1/R + 1/l_1 - N/l_1^2 = 0$, где $1/N = 1/l_1 - 1/f_1 + 1/(f_1 + f_2 + \Delta) - M/(f_1 + f_2 + \Delta)^2$; $1/M = 1/(f_1 + f_2 + \Delta) - 1/f_2 + 1/l_2$, выражение (1) приводится к виду

$$\begin{aligned} u(x_4, y_4) \sim & \exp \left[\frac{i k}{2 l_2} (x_4^2 + y_4^2) \right] \left\{ \exp \left[-\frac{i k M}{2 l_2^2} (x_4^2 + y_4^2) \right] \left\{ \exp \left[\frac{-i k N M^2 (x_4^2 + y_4^2)}{2 (f_1 + f_2 + \Delta)^2 l_2^2} \right] \times \right. \right. \\ & \times F \left[\frac{k N M x_4}{(f_1 + f_2 + \Delta) l_1 l_2}, \frac{k N M y_4}{(f_1 + f_2 + \Delta) l_1 l_2} \right] \otimes P_1(x_4, y_4) \left. \right\} \otimes P_2(x_4, y_4), \quad (2) \end{aligned}$$

где \otimes – символ операции свертки;

$$\begin{aligned} F \left[\frac{k N M x_4}{(f_1 + f_2 + \Delta) l_1 l_2}, \frac{k N M y_4}{(f_1 + f_2 + \Delta) l_1 l_2} \right] = & \int_{-\infty}^{\infty} \int t(x_1, y_1) \exp \left[-\frac{i k N M}{(f_1 + f_2 + \Delta) l_1 l_2} (x_1 x_4 + y_1 y_4) \right] d x_1 d y_1; \\ P_1(x_4, y_4) = & \int_{-\infty}^{\infty} \int p_1(x_2, y_2) \exp i \varphi_1(x_2, y_2) \exp \left[-\frac{i k M}{(f_1 + f_2 + \Delta) l_2} (x_2 x_4 + y_2 y_4) \right] d x_2 d y_2; \end{aligned}$$

$$P_2(x_4, y_4) = \int_{-\infty}^{\infty} \int_{-\infty}^{\infty} p_2(x_3, y_3) \exp i \varphi_2(x_3, y_3) \exp \left[-\frac{i k}{l_2} (x_3 x_4 + y_3 y_4) \right] dx_3 dy_3$$

– Фурье-образы соответствующих функций.

Так как ширина функции $P_1(x_4, y_4)$ порядка $\lambda(f_1 + f_2 + \Delta)l_2/(Md_1)$ [6], где λ – длина волны когерентного источника света, используемого для записи и восстановления голограммы; d_1 – диаметр зрачка линзы L_1 , то положим, что в пределах ее области существования изменение фазы сферической волны радиуса кривизны $(f_1 + f_2 + \Delta)^2 l_2^2/NM^2$ не превосходит π . Тогда с учетом выполнения условия для микроскопа $1/l_1 + 1/(f_1 + \Delta) = 1/f_1$ для области плоскости фотопластинки диаметром $D_1 \leq d_1 f_2 / (f_1 + \Delta)$ множитель $\exp \left[-\frac{i k N M^2}{2(f_1 + f_2 + \Delta)^2} \frac{x_4^2 + y_4^2}{l_2^2} \right]$, характеризующий распределение фазы сферической волны, вынесем в выражении (2) из-под знака интеграла свертки с функцией $P_1(x_4, y_4)$ и получим

$$u_1(x_4, y_4) \sim \exp \left[\frac{i k}{2 l_2} (x_4^2 + y_4^2) \right] \left\{ \exp \left[-\frac{i k}{2 l_2} (x_4^2 + y_4^2) \right] \left\{ F^{-1} \left[\frac{k x_4}{f}, \frac{k y_4}{f} \right] \otimes P_1^{-1}(x_4, y_4) \right\} \otimes P_2(x_4, y_4) \right\}, \quad (3)$$

где $F^{-1} \left[\frac{k x_4}{f}, \frac{k y_4}{f} \right] = \int_{-\infty}^{\infty} \int_{-\infty}^{\infty} t(x_1, y_1) \exp[i k(x_1 x_4 + y_1 y_4)/f] dx_1 dy_1$ – обратный Фурье-образ функции пропускания матового экрана; $f = f_1 f_2 / \Delta$ – фокусное расстояние микроскопа;

$$P_1^{-1}(x_4, y_4) = \int_{-\infty}^{\infty} \int_{-\infty}^{\infty} p_1(x_2, y_2) \exp i \varphi_1(x_2, y_2) \exp[i k(x_2 x_4 + y_2 y_4)/f(1 + \frac{f_1}{R} + \frac{f_2^2}{R \Delta})] dx_2 dy_2$$

– обратный Фурье-образ обобщенной функции зрачка объектива.

Так как ширина функции $P_2(x_4, y_4)$ порядка $\lambda l_2/d_2$, где d_2 – диаметр зрачка линзы L_2 , то положим, что в пределах ее области существования изменение фазы сферической волны радиуса кривизны l_2 не превосходит π . Тогда для области плоскости фотопластинки диаметром $D_2 \leq d_2$ множитель $\exp[-i k(x_4^2 + y_4^2)/2 l_2]$ вынесем в выражении (3) из-под знака интеграла свертки с функцией $P_2(x_4, y_4)$ и получим

$$u_1(x_4, y_4) \sim F^{-1} \left[\frac{k x_4}{f}, \frac{k y_4}{f} \right] \otimes P_1^{-1}(x_4, y_4) \otimes P_2(x_4, y_4). \quad (4)$$

Как следует из выражения (4), если $d_2 \geq d_1 f_2 / (f_1 + \Delta)$, то в пределах области в плоскости фотопластинки диаметром D_1 преобразования Фурье входной функции свертывается с импульсным откликом объектива и окуляра микроскопа, т. е. каждая точка обратного Фурье-образа матового экрана в плоскости (x_4, y_4) уширена до размера субъективного спекла, определяемого шириной функции $P_1^{-1}(x_4, y_4) \otimes P_2(x_4, y_4)$. Причем, как и в случае использования однокомпонентной оптической системы для формирования Фурье-образа матового экрана [7], преобразование Фурье масштабируется в соответствии с величиной фокусного расстояния, а масштаб преобразования не зависит от радиуса кривизны фронта волны излучения, используемого для освещения матового экрана. От него зависит только положение плоскости (x_4, y_4) преобразования $l_2 = f_2(1 + f_2/\Delta + f f_1/R\Delta)$ и, следовательно, ширина импульсного отклика оптической системы.

Распределение в плоскости фотопластинки комплексной амплитуды предметного поля, соответствующей второй экспозиции, на основании известного свойства преобразования Фурье принимает вид

$$u_2(x_4, y_4) \sim \exp(-i k a x_4/f) F^{-1} \left[\frac{k x_4}{f}, \frac{k y_4}{f} \right] \otimes P_1^{-1}(x_4, y_4) \otimes P_2(x_4, y_4). \quad (5)$$

В используемом приближении комплексные амплитуды в плоскости фотопластиинки опорных волн представим в виде

$$u_{01}(x_4, y_4) \sim \exp i [k x_4 \sin \Theta_1 + \varphi_3(x_4, y_4)];$$

$$u_{02}(x_4, y_4) \sim \exp i [k x_4 \sin \Theta_2 + \varphi_3(x_4 + b, y_4)],$$

где $\varphi_3(x_4, y_4)$ – детерминированная функция, характеризующая фазовые искажения опорной волны из-за волновых aberrаций формирующей ее оптической системы; b – величина сдвига, обусловленная изменением угла наклона фронта опорной волны перед повторным экспонированием фотопластиинки.

Примем далее линейную зависимость амплитудного коэффициента пропускания голограммы от интенсивности, и пусть голограмма просвечивается копией опорной волны, соответствующей, например, записи первой экспозиции. Тогда в плоскости голограммы распределение поля в минус первом порядке дифракции принимает вид

$$\begin{aligned} u(x_4, y_4) \sim & F^{-1} \left[\frac{k x_4}{f}, \frac{k y_4}{f} \right] \otimes P_1^{-1}(x_4, y_4) \otimes P_2(x_4, y_4) + \exp i [k x_4 \sin \Theta_1 - k x_4 \sin \Theta_2 + \varphi_3(x_4, y_4) - \varphi_3(x_4 + b, y_4)] \times \\ & \times \left\{ \exp(-i k a x_4/f) F^{-1} \left[\frac{k x_4}{f}, \frac{k y_4}{f} \right] \otimes P_1^{-1}(x_4, y_4) \otimes P_2(x_4, y_4) \right\}. \end{aligned} \quad (6)$$

При выполнении условия $\sin \Theta_1 - \sin \Theta_2 - a/f = 0$ выражение (6) приводится к виду

$$\begin{aligned} u(x_4, y_4) \sim & F^{-1} \left[\frac{k x_4}{f}, \frac{k y_4}{f} \right] \otimes P_1^{-1}(x_4, y_4) \otimes P_2(x_4, y_4) + \exp i [\varphi_3(x_4, y_4) - \varphi_3(x_4 + b, y_4)] \times \\ & \times \left\{ F^{-1} \left[\frac{k x_4}{f}, \frac{k y_4}{f} \right] \otimes \exp(i k a x_4/f) P_1^{-1}(x_4, y_4) \otimes \exp(i k a x_4/f) P_2(x_4, y_4) \right\}. \end{aligned} \quad (7)$$

Как следует из выражения (7), в плоскости голограммы совпадают субъективные спеклы поля двух экспозиций при относительном угле $\alpha = a/f$ наклона между ними, а информация о фазовых искажениях, вносимых в световую волну объективом и окуляром микроскопа, заключена в пределах индивидуального спекла. Следовательно, в плоскости голограммы локализуется интерференционная картина, обусловленная aberrациями опорной волны, на что было указано в [7]. Если в плоскости голограммы установлен непрозрачный экран p_3 (рис. 1) с круглым отверстием, центр которого находится на оптической оси, и в пределах его диаметра выполняется условие $\varphi_3(x_4, y_4) - \varphi_3(x_4 + b, y_4) \leq \pi$, т.е. ширина интерференционной полосы для интерференционной картины, локализующейся в ее плоскости, не превосходит диаметр фильтрующего отверстия, то дифракционное поле в плоскости фильтрации определяется выражением

$$\begin{aligned} u(x_4, y_4) \sim & p_3(x_4, y_4) \left\{ F^{-1} \left[\frac{k x_4}{f}, \frac{k y_4}{f} \right] \otimes [P_1^{-1}(x_4, y_4) \otimes P_2(x_4, y_4) + \exp(i k a x_4/f) P_1^{-1}(x_4, y_4) \times \right. \right. \\ & \times \left. \left. \otimes \exp(i k a x_4/f) P_2(x_4, y_4)] \right\}, \end{aligned} \quad (8)$$

где $p_3(x_4, y_4)$ – функция пропускания экрана с круглым отверстием [8].

Световое поле в задней фокальной плоскости линзы L_3 (рис. 1) с фокусным расстоянием f_3 представим в виде интеграла Фурье от светового поля в плоскости проведения пространственной фильтрации. Тогда используя свойства преобразования Фурье, получим

$$u(x_5, y_5) \sim t(\mu_1 x_5, \mu_1 y_5) \{ p_1(\mu_2 x_5, \mu_2 y_5) p_2(-\mu_3 x_5, -\mu_3 y_5) \exp i [\varphi_1(\mu_2 x_5, \mu_2 y_5) + \varphi_2(-\mu_3 x_5, -\mu_3 y_5)] + \\ + p_1(\mu_2 x_5 - a_1, \mu_2 y_5) p_2(-\mu_3 x_5 + a_1, -\mu_3 y_5) \exp i [\varphi_1(\mu_2 x_5 - a_1, \mu_2 y_5) + \varphi_2(-\mu_3 x_5 + a_2, -\mu_3 y_5)] \} \otimes P_3(x_5, y_5), \quad (9)$$

где $\mu_1 = f/f_3$; $\mu_2 = f(1 + f_1/R + f_1^2/R \Delta)/f_3$; $\mu_3 = f_2(1 + f_2/\Delta + f f_1/R \Delta)/f_3$ – коэффициенты масштабного преобразования; $a_1 = a(1 + f_1/R + f_1^2/R \Delta)$; $a_2 = af_2(1 + f_2/\Delta + f f_1/R \Delta)/f$ – введенные обозначения для сокращения записи; $P_3(x_5, y_5) = \int_{-\infty}^{\infty} \int_{-\infty}^{\infty} p_3(x_4, y_4) \exp[-i k(x_4 x_5 + y_4 y_5)/f_3] dx_4 dy_4$ – Фурье-образ функции пропускания фильтрующего экрана.

Из выражения (9) следует, что если диаметр D_0 освещенной области матового экрана удовлетворяет условию $D_0 \geq d_1 f_2 / [f_2 + f(f_1 + \Delta)/R]$, то в пределах перекрытия функций $p_1(\mu_2 x_5, \mu_2 y_5) p_2(-\mu_3 x_5, -\mu_3 y_5)$ и $p_1(\mu_2 x_5 - a_1, \mu_2 y_5) p_2(-\mu_3 x_5 + a_2, -\mu_3 y_5)$ совпадают идентичные субъективные спеклы. Используя допущение малости в плоскости регистрации \mathcal{A} (рис. 1) размера спекла, определяемого шириной функции $P_3(x_5, y_5)$, по сравнению с периодом модуляции фазы спекла-поля, вынесем в выражении (9) функцию $\exp i [\varphi_1(\mu_2 x_5, \mu_2 y_5) + \varphi_2(-\mu_3 x_5, -\mu_3 y_5)] + \exp i [\varphi_1(\mu_2 x_5 - a_1, \mu_2 y_5) + \varphi_2(-\mu_3 x_5 + a_2, -\mu_3 y_5)]$ из-под знака интеграла свертки. Тогда суперпозиция коррелирующих спекл-полей двух экспозиций приводит к распределению освещенности

$$I(x_5, y_5) \sim \{1 + \cos[\varphi_1(\mu_2 x_5, \mu_2 y_5) + \varphi_2(-\mu_3 x_5, -\mu_3 y_5) - \varphi_1(\mu_2 x_5 - a_1, \mu_2 y_5) - \\ - \varphi_2(-\mu_3 x_5 + a_2, -\mu_3 y_5)]\} |t(\mu_1 x_5, \mu_1 y_5) \otimes P_3(x_5, y_5)|^2. \quad (10)$$

Выражение (10) описывает спекл-структуру, промодулированную интерференционными полосами. Интерференционная картина имеет вид интерферограммы бокового сдвига в полосах бесконечной ширины, которая характеризует осевые волновые aberrации двухкомпонентной оптической системы. Это объясняется тем, что информация о фазовых искажениях, вносимых в световую волну объективом и окуляром микроскопа, заключена в пределах индивидуального спекла в плоскости голограммы.

Следовательно, путем проведения фильтрации на оптической оси в плоскости голограммы в пространственном спектре волн, рассеянных матовым экраном, выделяется узкий диапазон пространственных частот вблизи направления, совпадающего с оптической осью микроскопа. Смещение же по оси x фильтрующей диафрагмы в плоскости голограммы приводит к формированию интерферограммы бокового сдвига в полосах бесконечной ширины, характеризующей сочетание осевых и внеосевых волновых aberrаций объектива и окуляра микроскопа.

В этом случае фильтрующим отверстием выделяется узкий диапазон пространственных частот вблизи направления, соответствующего пространственной частоте $x_{40}/\lambda f$, где x_{40} – координата центра фильтрующего отверстия. Полагая величину сдвига малой по сравнению с диаметром зрачков линз L_1 и L_2 , можно показать, что из-за ограничения пучков в оптической системе микроскопа диапазон 2ω контроля волновых aberrаций по полю определяется величиной $\operatorname{tg} 2\omega = 2(x_{40})_{\max}/f = d_1(R\Delta + f_1^2)/f_1[R\Delta + f_1(f_1 + \Delta)] - d_2(R\Delta + f_1^2)/[R\Delta(f_2 + \Delta) + f_2^2 f_1]$.

Для регистрации интерференционной картины, локализующейся в плоскости голограммы, необходимо, как и в [9], проведение пространственной фильтрации дифракционного поля на оптической оси в частотной плоскости коллимирующей оптической системы из двух положительных линз, установленной за голограммой. При этом пространственная протяженность интерференционной картины ограничивается пространственной протяженностью Фурье-образа матового экрана. Для ее регистрации в пределах всей области $D \geq d_1 f_2 / (f_1 + \Delta)$ существования предметного поля в плоскости голограммы рассмотрим проведение пространственной фильтрации дифракционного поля на оптической оси согласно рис. 2.

Распределение поля в плоскости голограммы для этой области принимает вид

$$\begin{aligned}
u_1(x_4, y_4) \sim & \exp \left[\frac{i k (x_4^2 + y_4^2)}{2 l_2} \right] \left\{ \exp \left[-\frac{i k (x_4^2 + y_4^2)}{2 l_2} \right] \left\{ F^{-1} \left[\frac{k x_4}{f}, \frac{k y_4}{f} \right] \otimes P_1^{-1}(x_4, y_4) \right\} \otimes P_2(x_4, y_4) \right\} + \\
& + \exp i [\varphi_3(x_4, y_4) - \varphi_3(x_4 + b, y_4)] \exp \left[\frac{i k (x_4^2 + y_4^2)}{2 l_2} \right] \left\{ \exp \left[-\frac{i k (x_4^2 + y_4^2)}{2 l_2} \right] \times \right. \\
& \left. \times \left\{ F^{-1} \left[\frac{k x_4}{f}, \frac{k y_4}{f} \right] \otimes \exp(i \kappa z_4/f) P_1^{-1}(x_4, y_4) \right\} \otimes \exp(i \kappa z_4/f) P_2(x_4, y_4) \right\}. \quad (11)
\end{aligned}$$

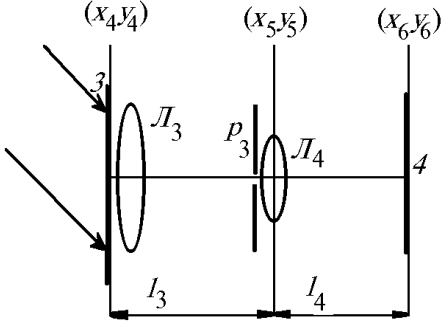


Рис. 2. Оптическая схема регистрации интерферограммы, локализующейся в плоскости голограммы

Если линза L_3 на рис. 2 расположена в плоскости голограммы, то при выполнении условия $1/l_2 + 1/l_3 = 1/f_3$ комплексная амплитуда поля двух экспозиций в плоскости (x_5, y_5) определяется выражением

$$\begin{aligned}
u(x_5, y_5) \sim & \exp \left[\frac{i k (x_5^2 + y_5^2)}{2 l_3} \right] \left\{ \left\{ \exp \left[\frac{i k (x_5^2 + y_5^2) l_2}{2 l_3^2} \right] \otimes [t(\mu_4 x_5, \mu_4 y_5) p_1(\mu_5 x_5, \mu_5 y_5) \exp i \varphi_1(\mu_5 x_5, \mu_5 y_5)] \right\} \times \right. \\
& \times p_2(-\mu_6 x_5, -\mu_6 y_5) \exp i \varphi_2(-\mu_6 x_5, -\mu_6 y_5) \left. \right\} + \exp \left[\frac{i k (x_5^2 + y_5^2)}{2 l_3} \right] \left\{ \Phi(x_5, y_5) \otimes \left\{ \exp \left[\frac{i k (x_5^2 + y_5^2) l_2}{2 l_3^2} \right] \otimes \right. \right. \\
& \otimes [t(\mu_4 x_5, \mu_4 y_5) p_1(\mu_5 x_5 - a_1, \mu_5 y_5) \exp i \varphi_1(\mu_5 x_5 - a_1, \mu_5 y_5)] \left. \right\} p_2(-\mu_6 x_5 + a_2, -\mu_6 y_5) \times \\
& \times \exp i \varphi_2(-\mu_6 x_5 + a_2, -\mu_6 y_5) \left. \right\}, \quad (12)
\end{aligned}$$

где $\mu_4 = f l_3$; $\mu_5 = f(1 + f_1/R + f_1^2/R \Delta)/l_3$; $\mu_6 = f_2(1 + f_2/\Delta + f f_1/R \Delta)/l_3$ – коэффициенты масштабного преобразования; $\Phi(x_5, y_5) = \int_{-\infty}^{\infty} \int_{-\infty}^{\infty} \exp i [\varphi_3(x_4, y_4) - \varphi_3(x_4 + b, y_4)] \exp[-i k(x_4 x_5 + y_4 y_5)/l_3] dx_4 dy_4$ –

–Фурье-образ соответствующей функции.

Так как $\Phi(x_5, y_5) \approx \delta(x_5, y_5)$, где $\delta(x_5, y_5)$ – дельта-функция Дирака, то при установке в плоскости (x_5, y_5) фильтрующей диафрагмы p_3 (рис. 2), в пределах отверстия которой выполняется условие $\varphi_2(-\mu_6 x_5, -\mu_6 y_5) - \varphi_2(-\mu_6 x_5 + a_2, -\mu_6 y_5) \leq \pi$, комплексная амплитуда поля на ее выходе определяется выражением

$$u(x_5, y_5) \sim \exp \left[\frac{i k (x_5^2 + y_5^2)}{2 l_3} \right] \left\{ \exp \left[\frac{i k (x_5^2 + y_5^2) l_2}{2 l_3^2} \right] \otimes [t(\mu_4 x_5, \mu_4 y_5) p_1(\mu_5 x_5, \mu_5 y_5) \exp i \varphi_1(\mu_5 x_5, \mu_5 y_5)] + \right.$$

$$+ \Phi(x_5, y_5) \otimes \left\{ \exp \left[\frac{i k (x_5^2 + y_5^2) l_2}{2 l_3^2} \right] \otimes [t(\mu_4 x_5, \mu_4 y_5) p_1(\mu_5 x_5 - a_1, \mu_5 y_5) \exp i \varphi_1(\mu_5 x_5 - a_1, \mu_5 y_5)] \right\} p_3(x_5, y_5). \quad (13)$$

Пусть для фокусного расстояния f_4 линзы L_4 на рис. 2, для которой p_3 является апертурной диафрагмой, выполняется условие $1/f_3 = 1/l_3 + 1/l_4$. Тогда распределение дифракционного поля в плоскости регистрации 4 принимает вид

$$\begin{aligned} u(x_6, y_6) \sim & \exp \left[\frac{i k (x_6^2 + y_6^2)}{2 l_4} \right] \left\{ \left\{ \exp \left[-\frac{i k (x_6^2 + y_6^2) \mu_7^2}{2 l_2} \right] [F(x_6, y_6) \otimes P_1(x_6, y_6)] + \right. \right. \\ & + \exp i [\varphi_3(-\mu_7 x_6, -\mu_7 y_6) - \varphi_3(-\mu_7 x_6 + b, -\mu_7 y_6)] \left\{ \exp \left[-\frac{i k (x_6^2 + y_6^2) \mu_7^2}{2 l_2} \right] \times \right. \\ & \left. \left. \times [F(x_6, y_6) \otimes \exp(-ikax_6/\mu_5 l_4) P_1(x_6, y_6)] \right\} \otimes P_3(x_6, y_6) \right\}, \end{aligned} \quad (14)$$

где $\mu_7 = l_3/l_4$ – коэффициент масштабного преобразования;

$$\begin{aligned} F(x_6, y_6) &= \int_{-\infty}^{\infty} \int_{-\infty}^{\infty} t(\mu_4 x_5, \mu_4 y_5) \exp[-i k(x_5 x_6 + y_5 y_6)/l_4] dx_5 dy_5; \\ P_1(x_6, y_6) &= \int_{-\infty}^{\infty} \int_{-\infty}^{\infty} p_1(\mu_5 x_5, \mu_5 y_5) \exp i \varphi_1(\mu_5 x_5, \mu_5 y_5) \exp[-i k(x_5 x_6 + y_5 y_6)/l_4] dx_5 dy_5; \\ P_3(x_6, y_6) &= \int_{-\infty}^{\infty} \int_{-\infty}^{\infty} p_3(x_5, y_5) \exp[-i k(x_5 x_6 + y_5 y_6)/l_4] dx_5 dy_5 – \text{Фурье-образы соответствующих функций.} \end{aligned}$$

Запишем выражение для распределения интенсивности света в плоскости регистрации. При этом для исключения из рассмотрения спектр-эффекта введем усреднение по координатам, полагая, что площадка усреднения много больше размера индивидуального спекла и в то же время в пределах этой площадки фазовый множитель $\exp i [\varphi_3(-\mu_7 x_6, -\mu_7 y_6) - \varphi_3(-\mu_7 x_6 + b, -\mu_7 y_6)]$ остается постоянной величиной. Кроме того, будем считать, что фазовые искажения, вносимые в световую волну объективом, обусловлены только дефокусировкой, как в [10], и величина d_1/μ_5 превосходит диаметр фильтрующего отверстия. Тогда для случая равных средних значений интенсивностей полей, соответствующих первой и второй экспозициям, получим

$$\langle I(x_6, y_6) \rangle \sim 1 + |V| \cos[\varphi_3(-\mu_7 x_6, -\mu_7 y_6) - \varphi_3(-\mu_7 x_6 + b, -\mu_7 y_6) + \psi], \quad (15)$$

где

$$\begin{aligned} V &= \exp(-i k \mu_5 \mu_7 E a_1 x_6 l_3 / l_2) \int_{-\infty}^{\infty} \int_{-\infty}^{\infty} p_3(x_5, y_5) p_3(x_5 - \mu_5 \mu_7^2 E a_1 l_4^2 / l_2, y_5) \exp(i k \mu_5 E a_1 x_5) dx_5 dy_5 / \\ &/ \int_{-\infty}^{\infty} \int_{-\infty}^{\infty} |p_3(x_5, y_5)|^2 dx_5 dy_5 \end{aligned} \quad (16)$$

– нормированная корреляционная функция; $\varphi = \arg V$; E – коэффициент, характеризующий дефокусировку. Из выражения (16) следует, что площадь участка плоскости (x_5, y_5) , на котором подынтегральное выражение не обращается в нуль, равна общей площади сечений фильтрующего отверстия и того же отверстия, но смешенного относительно первого на расстояние $\mu_5 \mu_7^2 E a_1 l_4^2 / l_2$.

Когда эти две области не перекрываются, то $V=0$. Кроме того, для $V \neq 0$ вид интерференционной картины изменяется из-за множителя $\exp(-i\kappa\mu_5\mu_7Ea_1x_6l_3/l_2)$, характеризующего вносимые в световую волну фазовые искажения объектива. Для $\mu_5\mu_7^2Ea_1l_3^2/l_2 \ll d$, где d – диаметр фильтрующего отверстия, и $d \leq \lambda l_2/\mu_5\mu_7Ea_1l_3$ можно зарегистрировать достаточно высококонтрастную интерференционную картину (15), характеризующую фазовые искажения фронта опорной волны из-за волновых aberrаций формирующей его оптической системы, в пределах области существования в плоскости фотопластинки предметного поля.

В эксперименте двухэкспозиционные голограммы записывались на фотопластинках типа Микрат ВРЛ с использованием излучения Не–Не-лазера на длине волны 0,63 мкм. Формирование Фурье-образа матового экрана при его освещении излучением с расходящейся сферической волной при $R = 180$ мм осуществлялось с помощью микроскопа с фокусным расстоянием объектива $f_1 = 35$ мм, окуляра $f_2 = 50$ мм с диаметром зрачков соответственно $d_1 = 8$, $d_2 = 12$ мм. Оптическая длина тубуса микроскопа равнялась $\Delta = 80$ мм.

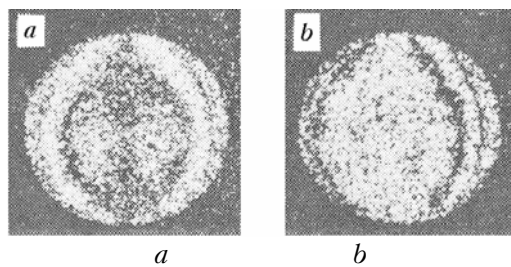


Рис. 3. Интерферограммы бокового сдвига, локализующиеся в дальней зоне дифракции и зарегистрированные при проведении пространственной фильтрации: *a* – на оптической оси, *b* – вне оптической оси

В качестве примера на рис. 3, *a* приведена интерферограмма, зарегистрированная при проведении пространственной фильтрации на оптической оси в плоскости голограммы путем ее восстановления малоапertureным лазерным пучком. Для этого излучение лазера фокусировалось с помощью длиннофокусной линзы с $f_0 = 500$ мм. Интерференционная картина характеризует сферическую aberrацию с зафокальной дефокусировкой оптической системы микроскопа. Перед проведением записи второй экспозиции матовый экран смешался в направлении, перпендикулярном оптической оси, на величину $a = (0,17 \pm 0,002)$ мм, а угол наклона опорного пучка изменился на величину $\Delta\Theta = 28'' \pm 10''$.

Интерферограмма, представленная на рис. 3, *b*, зарегистрирована при проведении пространственной фильтрации путем смещения голограммы на 1,5 мм по оси сдвига относительно восстанавливающего ее лазерного луча. Она характеризует сочетание осевых и внеосевых волновых aberrаций оптической системы микроскопа и соответствует случаю дифракции на зрачке объектива плоской волны, направление которой составляет угол ω с оптической осью микроскопа. Дальнейшее смещение голограммы относительно восстанавливающего ее лазерного луча приводит к регистрации интерференционной картины, пространственная протяженность которой уменьшается из-за ограничения пучков в оптической системе микроскопа.

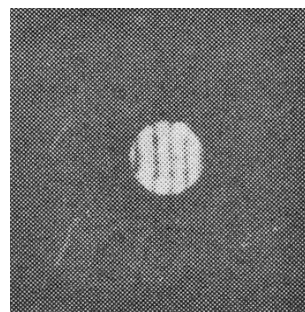


Рис. 4. Интерферограмма бокового сдвига, локализующаяся в плоскости голограммы

Интерферограмма бокового сдвига в полосах бесконечной ширины на рис. 4 характеризует фазовые искажения части фронта опорной волны из-за волновых aberrаций формирующей его оптической системы. Ее регистрация с проведением пространственной фильтрации на оптической оси осуществлялась согласно рис. 2. Пространственная протяженность интерференционной картины, ограниченная областью существования предметного поля в плоскости голограммы, равнялось 5 мм, что соответствует расчетной величине.

Таким образом, приведенные теоретические и экспериментальные результаты показали, что рассмотренный метод двухэкспозиционной записи голограммы Фурье с помощью микроскопа обеспечивает формирование в диффузно рассеянных полях интерферограмм бокового сдвига в полосах бесконечной ширины. При этом интерференционная картина, характеризующая волновые aberrации оптической системы микроскопа, локализуется в дальней зоне дифракции и для ее регистрации необходимо проведение пространственной фильтрации в плоскости голограммы. Кроме того, проведение пространственной фильтрации позволяет выделять интерференционные картины, соответствующие пространственным частотам волн, рассеянных матовым экраном, осуществляя тем самым контроль волновых aberrаций по полю.

1. Гусев В.Г. // Оптика атмосферы. 1991. Т. 4. № 5. С. 482–490.
2. Гусев В.Г. // Оптика и спектроскопия. 1993. Т. 74. Вып. 5. С. 989–994.
3. Гусев В.Г. // Оптика атмосферы. 1991. Т. 4. № 8. С. 787–795.
4. Гусев В.Г. // Оптика и спектроскопия. 1994. Т. 76. № 3. С. 484 – 489.
5. Гудмен Д. Введение в Фурье-оптику. М.: Мир, 1970. 359 с.
6. Франсон М. Оптика спеклов. М.: Мир, 1980. 158 с.
7. Гусев В.Г. // Оптика и спектроскопия. 1991. Т. 71. Вып. 1. С. 171–174.
8. Борн М., Вольф Э. Основы оптики. М.: Наука, 1970. 846 с.
9. Гусев В.Г. // Оптика и спектроскопия. 1990. Т. 69. Вып. 5. С. 1125–1128.
10. Гусев В.Г. // Оптика атмосферы и океана. 1992. Т. 5. № 4. С. 339–348.

Томский государственный университет
им. В.В. Куйбышева

Поступила в редакцию
21 марта 1994 г.

V.G. Gusev. Formation of the Shear Interferograms with Diffusively Scattered Light by a Double-Exposed Record of Fourier Hologram Using a Microscope.

Analysis of the shear interferometer is presented on the basis of double-exposure record using a microscope of Fourier hologram of a diffusive screen.

It is shown theoretically and experimentally that spatial filtration in the hologram plane enables monitoring of the microscopes phase distortions over field.